

ORIGINAL ARTICLE

Comparing the Efficiency of UV/TiO₂ and UV/O₃ Processes in Degradation of Sulfonamide Antibiotics in Aquatic Solution

Mahsa Tahergorabi¹,
Mohammad Malakootian²,
Samaneh Dehghan³,
Ali Esrafilii⁴,
Majid Kermani⁵,
Mojtaba Yegane Badi⁶

¹ Assistant Professor, Department of Environmental Health Engineering, School of Public Health, Jiroft University of Medical Sciences, Jiroft, Iran

² Professor, Department of Environmental Health Engineering, Environmental Health Engineering Research Center, Faculty of Public Health, Kerman University of Medical Sciences, Kerman, Iran

³ Assistant Professor, Department of Environmental Health Engineering, Faculty of Public Health, Mazandaran University of Medical Sciences, Sari, Iran

⁴ Associate Professor, Department of Environmental Health Engineering, School of Public Health, Iran University of Medical Sciences, Tehran, Iran

⁵ Professor, Research Center for Environmental Health Technology, Department of Environmental Health Engineering, School of Public Health, Iran University of Medical Sciences, Tehran, Iran

⁶ PhD Student in Environmental Health Engineering, School of Public Health, Iran University of Medical Sciences, Tehran, Iran

(Received December 14, 2021 ; Accepted April 5, 2021)

Abstract

Background and purpose: Emerging pollutants such as antibiotics are resistant to biodegradation. The aim of this study was to compare the effect of photocatalytic and Ozonation photolysis on decomposition of Sulfonamide antibiotics (Sulfacetamide, Sulfathiazole, Sulfamethoxazole, and Sulfadiazine) in aquatic environments.

Materials and methods: In this study, experiments were conducted discontinuously. The effect of some parameters, including pH, initial antibiotic concentration, ozone concentration, contact time, and concentration of TiO₂ on degradation of Sulfonamide antibiotic was investigated. Characteristics of this catalyst were analyzed using FTIR, XRD, SEM, and EDX techniques. The concentrations of antibiotics were measured by an HPLC analyzer equipped with a UV detector at a wavelength of 270 nm.

Results: The highest percentage of sulfonamide removal under optimal conditions (pH 5, initial concentration of antibiotics= 10 mg/l, ozone concentration= 0.22 g/h, and catalyst concentration= 1 g/l) were obtained by photocatalytic and photolysis processes (92.1% and 100%, respectively). Intermediate products produced under these conditions included acetic acid, butyric acid, and low molecular weight products. TOC removal efficiencies of sulfonamides by photocatalytic and ozonation photolys were 80% and 79.6%, respectively.

Conclusion: The study showed that the rate of ozonation photolysis reaction in the removal of sulfonamides was 2.6 times faster than the photocatalytic process.

Keywords: Antibiotics sulfonamides, Photocatalytic, Ozonation photolysis

J Mazandaran Univ Med Sci 2021; 31(198): 73-86 (Persian).

* Corresponding Author: Mahsa Tahergorabi - School of Health, Jiroft University of Medical Sciences, Jiroft, Iran
(E-mail: tahergorabi.m@gmail.com)

مقایسه کارایی فرآیندهای فتوکاتالیستی و فتولیز ازناسیون در تجزیه آنتی بیوتیک های سولفانامید از محلول آبی

مهسا طاهر گورابی^۱

محمد ملکوتیان^۲

سمانه دهقان^۳

علی اسرافیلی دیزجی^۴

مجید کرمانی^۵

مجتبی یگانه بادی^۶

چکیده

سابقه و هدف: مهم‌ترین علت بررسی آلاینده‌های نوظهور از جمله آنتی بیوتیک‌ها در مطالعه حاضر به سبب مقاومت آن‌ها به تجزیه بیولوژیکی است. هدف از این تحقیق، تجزیه آنتی بیوتیک‌های سولفانامید از محیط‌های آبی با مقایسه نمودن کارایی دو فرآیند فتوکاتالیستی و فتولیز ازناسیون است.

مواد و روش‌ها: در این مطالعه آزمایشات در فاز ناپیوسته انجام شدند. اثر پارامترهای اجرایی شامل pH، غلظت اولیه آنتی بیوتیک، غلظت ازن، زمان تماس و غلظت کاتالیست TiO_2 بر روی تجزیه آنتی بیوتیک‌های سولفانامید بررسی شد. مشخصات کاتالیست دی‌اکسید تیتانیوم با تکنیک‌های FTIR, XRD, SEM, EDX مورد آنالیز قرار گرفت. غلظت آنتی بیوتیک‌ها توسط دستگاه آنالیزور HPLC مجهز به دتکتور UV در طول موج 270 نانومتر اندازه‌گیری شد.

یافه‌ها: نتایج نشان داد بالاترین درصد حذف سولفانامیدها در شرایط بهینه، $\text{pH} = 5$, غلظت اولیه آنتی بیوتیک‌ها 10 میلی‌گرم بر لیتر، غلظت ازن 0/22 گرم بر ساعت، غلظت کاتالیست 1 گرم بر لیتر به ترتیب در فرآیندهای فتوکاتالیستی و فتولیز ازناسیون 92/1 و 100 درصد حاصل شد. محصولات واسطه تولیدی در این شرایط شامل اسیدهای استیک، بوتیریک و محصولاتی با وزن مولکولی پایین بوده است. راندمان حذف TOC سولفانامیدها 80 و 79/6 درصد به دست آمد.

استنتاج: نتایج نشان داد سرعت و اکنش فتولیز ازناسیون در حذف سولفانامیدها، 2/6 برابر بیشتر از فرایند فتوکاتالیستی است.

واژه‌های کلیدی: آنتی بیوتیک سولفانامید، فتوکاتالیستی، فتولیز ازناسیون

مقدمه

آن‌تی بیوتیک‌ها برای درمان بیماری‌ها و جلوگیری از شیوع بیماری‌های عفونی استفاده می‌شوند(1). در کل متابولیزه شده و از بدن انسان دفع می‌شود. مهم‌ترین علت

E-mail:tahergorabi.m@gmail.com

مؤلف مسئول: مهسا طاهر گورابی - تهران: دانشگاه علوم پزشکی ایران، دانشکده بهداشت

1. استادیار، گروه مهندسی بهداشت محیط، دانشکده بهداشت، دانشگاه علوم پزشکی جیرفت، ایران

2. استاد، گروه مهندسی بهداشت محیط، مرکز تحقیقات مهندسی بهداشت محیط، دانشکده بهداشت دانشگاه علوم پزشکی کرمان، کرمان، ایران

3. استادیار، گروه مهندسی بهداشت محیط، دانشکده بهداشت، دانشگاه علوم پزشکی مازندران، ساری، ایران

4. دانشیار، گروه مهندسی بهداشت محیط، دانشگاه علوم پزشکی ایران، تهران، ایران

5. استاد، مرکز تحقیقات تکنولوژی مهندسی بهداشت محیط، گروه بهداشت محیط، دانشکده بهداشت دانشگاه علوم پزشکی ایران، تهران، ایران

6. دانشجوی دکترا گروه مهندسی بهداشت محیط، دانشکده بهداشت، دانشگاه علوم پزشکی ایران، تهران، ایران

تاریخ دریافت: 1399/9/24 تاریخ ارجاع جهت اصلاحات: 1399/10/8 تاریخ تصویب: 1400/1/16

اکسیداسیون بالا قادر به حذف ترکیبات آلی مقاوم به تجزیه بیولوژیکی است(9). در فرآیند فتوکاتالیستی، دی اکسید یتیانیوم یک نیمه هادی می باشد که قادر است نور UV در طول موج کمتر از 385 نانومتر را جذب کند و سبب انتقال الکترون از باند الائنس به باند هدایت می شود(9). hole^+ در باند الائنس عامل اکسید کننده قوی است که در حضور آب و مولکول اکسیژن به عنوان پذیرنده الکترون تولید رادیکال هیدروکسیل می کند(10). Abellan و همکارانش با بررسی سینتیک تجزیه سولفات‌کسازول در فرایند فتوکاتالیستی با غلظت اولیه 10 میلی گرم بر لیتر و دوزاژ کاتالیست 250 میلی گرم بر لیتر نشان دادند کارایی حذف سولفات‌کسازول بعد از 30 دقیقه زمان تماس برابر با 90 درصد حاصل شد(11). حضور بدام اندازه‌های رادیکال مانند آگزالات آمونیوم، حضور بدام مطالعه، بررسی پارامترهای موثر اجرایی و ترتیب بوتانول، متانول و اتانول تولید گونه‌های اکسیداتیو در محلول را کاهش و جذب رادیکال خوارها بر سطح نانو کاتالیست TiO_2 سبب بازدارندگی در تولید جفت الکترون/ hole^+ و کاهش فعالیت اکسیداسیون می شود(12).

هدف از این مطالعه، بررسی پارامترهای موثر اجرایی و تعیین نوع محصولات واسطه تولیدی توسط GC-MS بر روی کارایی حذف آنتی‌بیوتیک‌های سولفات‌کسازول در محلول آبی با مقایسه کارایی فرآیندهای فتوکاتالیستی و فتولیز ازناسیون است.

مواد و روش‌ها

مواد مصرفی

آنتی‌بیوتیک‌های سولفات‌کسازول و مواد شیمیایی از شرکت سیگما آلدریج و نانوکاتالیست دی اکسید یتیانیوم دگوسا P25 از شرکت دگوسا خریداری شد. همه سولفات‌کسازول‌ها دارای گروه‌های عامل اسیدی و بازی هستند و حالت یونیزاسیون آن‌ها با ثابت اتحاد اسیدی ($\text{PK}_{\text{a},1}$ ، $\text{PK}_{\text{a},2}$) بیان می شود(13). ساختار شیمیایی آنتی‌بیوتیک‌های سولفات‌کسازول در جدول شماره 1 نشان داده شده است(13).

بررسی آنتی‌بیوتیک‌ها در محیط، مقاومت آن‌ها علیه میکروارگانیسم‌ها است(1). افزایش یافتن بروز مقاومت آنتی‌بیوتیک‌ها در محیط سبب مستعدشدن میکروارگانیسم‌ها به آن‌ها و کاهش درمان موثر علیه آنتی‌بیوتیک‌ها، سلامتی بشر را تهدید خواهد کرد(2). آنتی‌بیوتیک‌های سولفات‌کسازول از دسته آلاتی‌های آلی مقاوم به تجزیه بیولوژیکی است(2). سولفات‌کسازولها معمول ترین آنتی‌بیوتیک‌های مورد استفاده در درمان دام‌های حیوانی است. از اوایل دهه 1940 بیش از 150 نوع سولفات‌کسازول به عنوان داروی انسانی و حیوانی شناخته شده است(2). تمام سولفات‌کسازولها به جزء سولفاسالازین در آب محلول و از دسته مولکول‌های قطبی با ویژگی‌های آمفوتربیک هستند(3). سولفات‌کسازول‌ها آلفا-تیک نسبت به سولفات‌کسازول‌های آروماتیک دارای حلایت بیشتری هستند(4). ارزیابی عملکرد فرآیندهای متداول تصفیه آب در حذف آلاتی‌های نوظهور توسط Ternes و همکارانش، بر روی حذف داروهای بزافیرات، کلوفیریک اسید، کاربامازپین و دیکلوفنیک نشان داد کارایی آن در حذف آلاتی‌های نوظهور کمتر از 30 درصد بوده است(5).

احمدی و اسدی در سال 1398 با حذف آنتی‌بیوتیک سپیروفلوکسازین از محلول‌های آبی توسط فرایند انعقاد شیمیایی نشان دادند حذف آن با استفاده از ماده منعقد کننده آلوم قادر به تامین حد استاندارد حفاظت محیط زیست نبوده است(6). محمدی کلهری و همکارانش در سال 1395 نشان دادند درصد جذب مترونیدازول با پامیس کربنه دارای کمترین مقدار بوده است(7). غلامی و همکارانش در سال 1399 مشاهده کردند حذف آنتی‌بیوتیک تراسایکلین و سپیروفلوکسازین با آنزیم هورس رادیش پراکسیداز از فاضلاب با افزایش زمان واکنش فعالیت آنزیم به تدریج کاهش می‌یابد و پس از 2 ساعت اکثر آنزیم‌ها فعالیت خود را از دست می‌دهند. بنابراین بازده حذف آنتی‌بیوتیک‌ها به ترتیب 40 و 95 درصد به دست آمد(8). بنابراین فرآیندهای اکسیداسیون پیشرفت‌هه با تولید رادیکال هیدروکسیل با قدرت

اکسیژن، ژیراتور ازن، ظرف واکنش به حجم 1 لیتر و لامپ UVC فشار بالا 150 وات با طول موج کمتر از 280 نانومتر طراحی شده است. شماتیک راکتور در تصویر شماره 1 نشان داده شده است. برای تعیین غلظت ازن شماره 1 نشان داده شده است. برای تعیین غلظت ازن تولیدی از روش بدمتریک و تیتراسیون استفاده شد. سپس با استفاده از معادله شماره 1 غلظت ازن تولیدی تعیین شد.

$$O_3 = \frac{(A+B) \times N \times 24}{T}$$

معادله شماره 1 :

دستگاه‌های مورد استفاده

برای تعیین غلظت آنتی بیوتیک‌ها از دستگاه HPLC مدل CE4200 Cecil و ستون C18 با قطر داخلی 4/6 میلی‌متر در طول موج 270 نانومتر با فاز حامل متانول و بافر تری‌کلرواستیک اسید تعدیل شده در pH=3 با اسید سولفوریک به نسبت حجمی (v/v) 80:20 با دبی 1/5 ml/min استفاده شد(15). مواد واسطه تشکیل شده حاصل از تجزیه آنتی بیوتیک‌های سولفانامید با استفاده از GC-MS و جهت معدنی‌سازی آن‌ها از آنالیزکننده کل کربن آلی (TOC) مدل Multi N/C,3100 استفاده گردید. کروماتوگرام آنالیز سولفانامیدها در نمودار شماره 1 و کروماتوگرام محصولات واسطه تولیدی در نمودار شماره 2 نشان داده شده است.

جدول شماره 1: ساختار شیمیایی و خصوصیات آنتی بیوتیک‌های سولفانامید

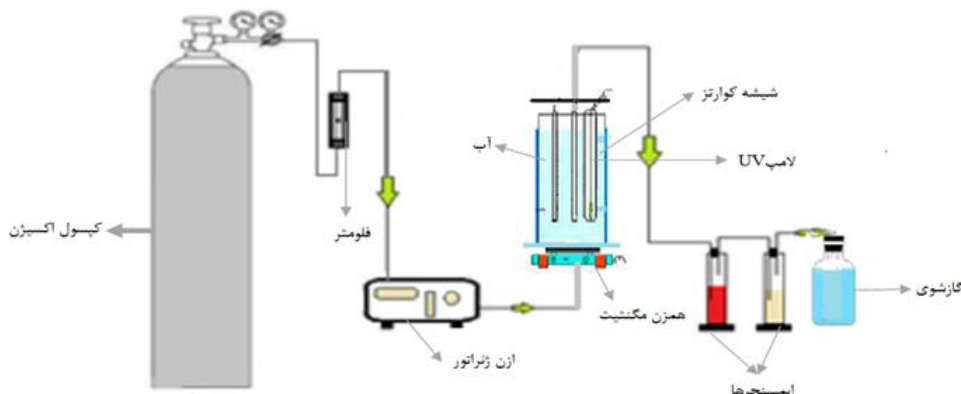
ترکیب	ساختار شیمیایی	وزن مولی (g/mole)	فرمول شیمیایی	محلت در (g/L) _{آب}	PK_{a2}	PK_{a1}
سولفانامید		12.5	C ₈ H ₁₀ N ₂ O ₂ S			
سولفانیازول		0.48	C ₉ H ₁₁ N ₂ O ₂ S ₂	7.1	2	
سولفان‌کازازول		0.281	C ₁₀ H ₁₁ N ₃ O ₂ S	5.6	1.7	
سولفادیازین		0.13	C ₁₀ H ₁₀ N ₄ O ₂ S	6.4	2	

مشخصات نانو کاتالیست TiO_2

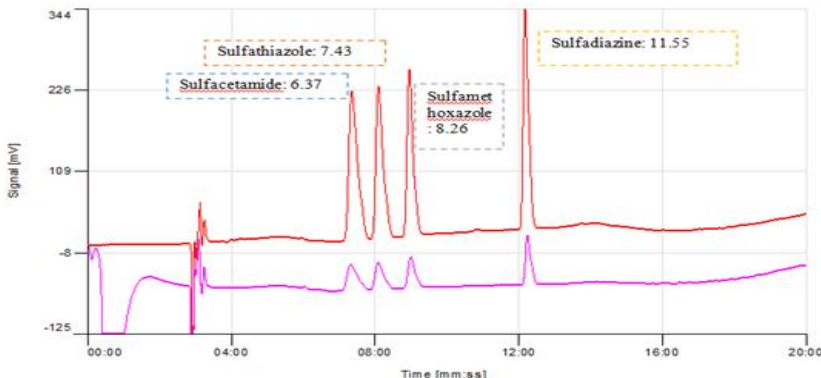
تعیین مرفو‌لوژی، گروه‌های عامل سطحی و کریستاله بودن نانو کاتالیست TiO_2 توسط آنالیزهای XRD، EDX، FE-SEM و پ FTIR مشخص شد. ویژگی بار سطحی کاتالیست نقطه زتا پتانسیل (pHPZC) طبق روش دیگر محققین اندازه گیری شد(14).

خصوصیات پایلوت

راکتور مورد استفاده در این مطالعه شامل کپسول



تصویر شماره 1: نمای شماتیک راکتور مورد استفاده در این مطالعه



نمودار شماره ۱: کروماتوگرام حاصل از آنالیز سولفانامیدها توسط HPLC

یک از نمونه‌ها اندازه‌گیری و pH_{zpc} تعیین شد. در کلیه آزمایشات تمام متغیرها ثابت بوده و با تغییر در یک متغیر، مقدار پارامتر بهینه تعیین و در آزمایشات مراحل بعدی مورد استفاده قرار گرفت.

یافته‌ها

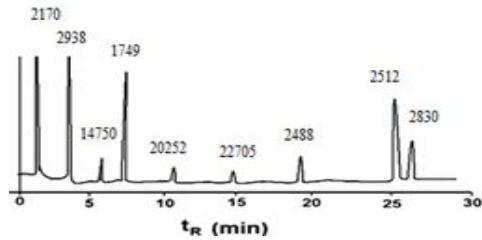
مشخصات نانوذرات TiO_2

آنالیز FTIR، XRD، SEM و EDX

آنالیز FTIR بر روی نانوکاتالیست دی‌اکسید تیتانیوم در دامنه 4000-400 cm^{-1} انجام شد. در نمودار شماره ۳ طیف مشاهده شده بین 451-850 cm^{-1} مربوط به باند Ti-O-Ti ، طیف ۱620 cm^{-1} و 3370-3400 cm^{-1} به ترتیب مربوط به باند O-H از گروه هیدروکسیل است. نمودار شماره ۴، C=O پیک‌های مشاهده شده برای نانوکاتالیست دی‌اکسید تیتانیوم در زوایای ۲۰ برابر با ۲۵/۵، ۳۸، ۴۸، ۵۴، ۵۵، ۷۰/۵ و ۷۵ نشان‌دهنده نوع آناتاز دی‌اکسید تیتانیوم و در زوایای ۲۷، ۳۷، ۴۲ و ۶۲ نشان‌دهنده نوع روتایل دی‌اکسید تیتانیوم می‌باشد. با استفاده از رابطه دبای-شرر اندازه تقریبی ذرات نانوکاتالیست دی‌اکسید تیتانیوم برابر با ۲۱ نانومتر تعیین گردید (۱۴). آنالیز SEM دی‌اکسید تیتانیوم در تصویر شماره ۲ و آنالیز EDX در نمودار شماره ۵ نشان می‌دهد ذرات نانوکاتالیست تجمع فراوانی دارند و نانوذرات TiO_2 دارای عناصر Ti-O-Ti است.

$$D = k \frac{\delta}{\beta \cos \theta}$$

معادله شماره ۲ :



نمودار شماره ۲: کروماتوگرام محصولات واسطه تولیدی توسط GC/MS

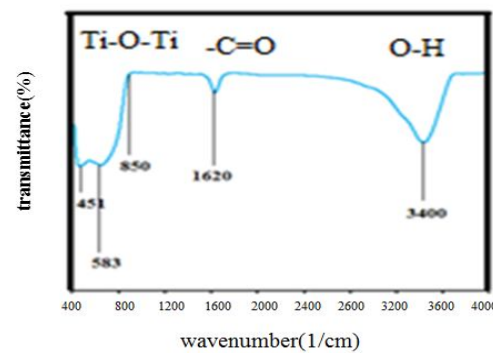
روش آزمایش

مطالعه حاضر در مقیاس آزمایشگاهی به صورت ناپیوسته انجام گرفت. نمونه برداری بر اساس روش یک فاکتور در زمان صورت گرفت. اثر پارامترهایی مانند غلظت کاتالیست (۰/۱، ۰/۵، ۱/۰ گرم بر لیتر)، pH (۳، ۵، ۷، ۹)، غلظت اولیه آنتی‌بیوتیک (۱۰، ۲۰ و ۴۰ میلی گرم بر لیتر)، زمان تماس (۵-۶۰ دقیقه)، غلظت ازن (۰/۱۵، ۰/۱)، ۰/۲۲ گرم بر ساعت)، نوع بدام انداز رادیکال (ترت بوتانیل، اگزالات آمونیوم و بنزوکوئینون) و مطالعات سینتیکی بر روی تجزیه فنولیز ازناسیون و فتوکاتالیستی آنتی‌بیوتیک‌ها بررسی شد. برای تعیین وضعیت پراکندگی بار الکتریکی در سطح کاتالیست مقدار pH_{zpc} سنجش گردید. در این روش محلول نیترات سدیم ۰/۱ نرمال به حجم ۴۰ میلی لیتر تهیه شد. pH محلول تهیه شده با اسید کلریدریک و هیدروکسید سدیم ۰/۱ نرمال در رنج ۲ تا ۱۲ تنظیم شد. سپس با افزودن ۰/۲ گرم نانوذره دی‌اکسید تیتانیوم در هریک از نمونه‌ها بعد از ۴۸ ساعت pH هر

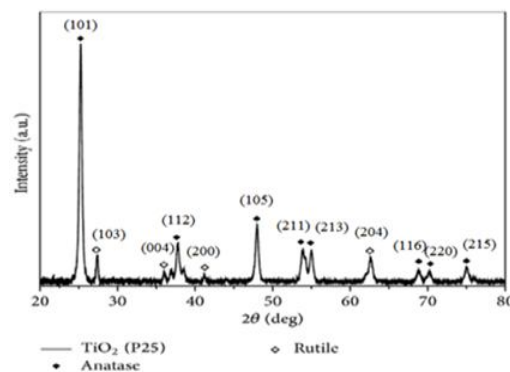
بررسی تأثیر pH بر کارایی فرایند فتوکاتالیستی و فتولیز ازناسیون

اثر pH اولیه بر روی تجزیه آنتی بیوتیک های سولفانامید با متغیر بودن pH از 3 تا 11 در غلظت اولیه آنتی بیوتیک ها 10 میلی گرم بر لیتر، غلظت ازن ورودی 0/22 گرم بر ساعت و غلظت کاتالیست 1 گرم بر لیتر در زمان تماس بهینه بررسی شد. نمودار شماره 6 نشان می دهد کارایی تجزیه از 83/1 به 92/1 درصد از 82/7 به 90/1 درصد، از 81/7 به 91/2 درصد و از 81/4 به 92/3 درصد برای سولفاستامید، سولفاتیازول، سولفامات کسازول و سولفادیازین به ترتیب از pH 3 به 5 افزایش یافت. کارایی تجزیه به 54/6 درصد برای سولفاستامید، 53/4 درصد برای سولفاتیازول، 52/1 درصد برای سولفامات کسازول و 50/1 درصد برای سولفادیازین در pH برابر با 11 کاهش یافت. همچنین کارایی تجزیه فتولیز ازناسیون از 93/7 به 100 درصد، از 92/1 به 100 درصد، از 93/2 به 100 درصد و از 92/1 به 100 درصد برای سولفاستامید، سولفاتیازول، سولفامات کسازول و سولفادیازین به ترتیب از pH 3 به 5 افزایش یافت. کارایی تجزیه به 54/3 درصد برای سولفاستامید، 55/2 درصد برای سولفاتیازول، 52/1 درصد برای سولفامات کسازول و 53/1 درصد برای سولفادیازین در pH برابر با 11 کاهش یافت. در مطالعه حاضر، بیشترین راندمان حذف در pH برابر با 5 مشاهده شد.

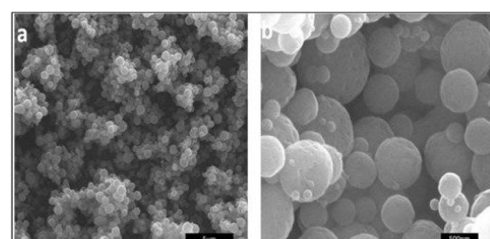
بررسی تأثیر دوز اثر کاتالیست بر کارایی فرایند فتوکاتالیستی اثر دوز اثر کاتالیست بر روی تجزیه آنتی بیوتیک های سولفانامید با متغیر بودن دوز اثر کاتالیست (0/1، 0/5 و 1 گرم بر لیتر) در شرایط بهینه و مدت زمان تماس 60 دقیقه بررسی شد. نمودار شماره 7 نشان می دهد با افزایش غلظت اولیه نانو کاتالیست ها، کارایی حذف افزایش یافت. کارایی تجزیه فتوکاتالیستی از 73/4 به 92/1 درصد برای سولفاستامید، از 72/9 به 90/1 درصد برای سولفاتیازول، از 71/2 به 91/2 درصد برای سولفامات کسازول، از 92/3 به 92/3 درصد برای سولفادیازین است. دوز اثر 1 گرم بر لیتر به عنوان دوز بهینه کاتالیست در نظر گرفته شد.



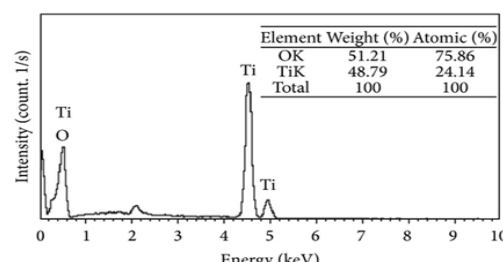
نمودار شماره 3: تصویر FTIR از نانو کاتالیست دی اکسید تیتانیوم



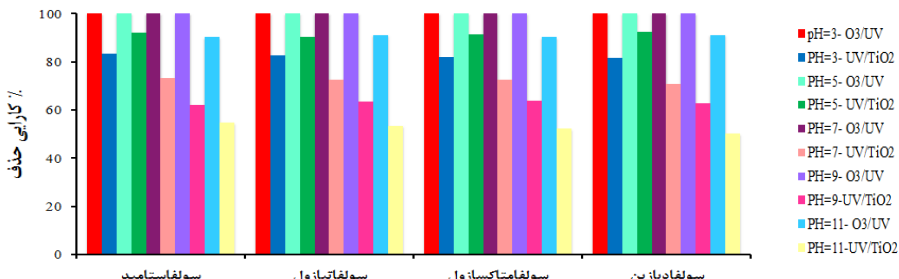
نمودار شماره 4: تصویر XRD از دی اکسید تیتانیوم



تصویر شماره 2: تصویر SEM از دی اکسید تیتانیوم



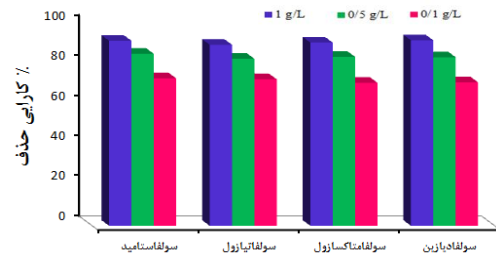
نمودار شماره 5: تصویر EDX از دی اکسید تیتانیوم



نمودار شماره 6: اثر pH بر تجزیه آنتی بیوتیک های سولفانامید

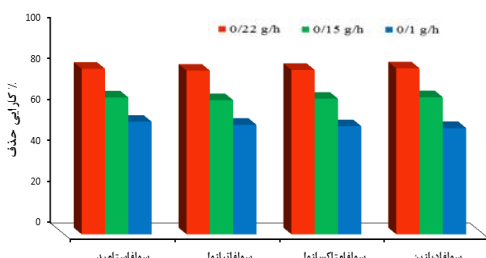
بررسی تاثیر غلظت آنتی بیوتیک ها بر کارایی فرایند فتوکاتالیز از ناسیون و فتوکاتالیستی اثر غلظت اولیه آنتی بیوتیک ها (۱۰، ۲۰، ۴۰ میلی گرم بر لیتر) بر روی تجزیه آنها تحت شرایط بهینه بررسی شد. نمودار شماره 9 نشان می دهد تجزیه فتوکاتالیستی آنتی بیوتیک ها از ۹۲/۱ به ۶۳/۱ درصد برای سولفاستامید، آنتی بیوتیک ها از ۹۱/۲ به ۶۲/۴ درصد برای سولفاتیازول، از ۹۱/۲ به ۶۱/۸ درصد برای سولفاماتکسازول، از ۹۲/۳ به ۶۲/۷ درصد برای سولفادیازین و برای فتوکاتالیز از ناسیون کارایی حذف آنتی بیوتیک های سولفانامید از ۵۷/۶ به ۵۷/۰ درصد برای سولفاستامید، از ۷۹/۸ به ۵۷/۱ درصد برای سولفاتیازول، از ۸۰/۱ به ۵۸/۲ درصد برای سولفاماتکسازول، از ۸۱/۲ به ۵۷/۳ درصد برای سولفادیازین با افزایش غلظت اولیه آنتی بیوتیک ها از ۱۰ به ۴۰ میلی گرم بر لیتر کاهش یافت. حداکثر راندمان در غلظت ۱۰ میلی گرم بر لیتر حاصل شد.

مطالعات سینتیکی و مصرف انرژی در فرایندهای تجزیه فتوکاتالیستی و فتوکاتالیز از ناسیون نتایج حاصل از بررسی مدل های سینتیک درجه صفر، اول و دوم در زمان واکنش های مختلف قابل تعیین است. برای به دست آوردن پارامتر های سینتیک تجزیه آنتی بیوتیک های سولفانامید معادلات و پارامتر های مذکور در جدول شماره ۲ آورده شده است. پارامتر های سینتیک واکنش های درجه صفر، اول و دوم برای تجزیه آنتی بیوتیک های سولفانامید در جدول شماره ۳ و ۴ به ترتیب نشان داده شده است. تجزیه آنتی بیوتیک های سولفانامید از مدل سینتیک درجه اول تعیت می کند.



نمودار شماره 7: اثر غلظت کاتالیست بر تجزیه آنتی بیوتیک های سولفانامید

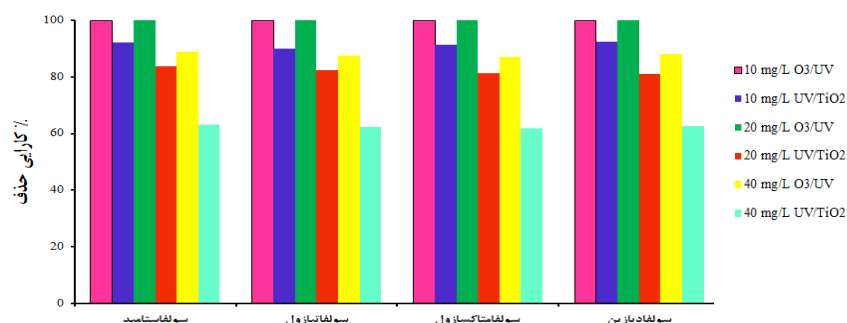
بررسی تاثیر غلظت گاز ازن بر کارایی فرایند فتوکاتالیز از ناسیون اثر غلظت گاز ازن ورودی بر روی تجزیه آنتی بیوتیک های سولفانامید با متغیر بودن غلظت گاز ازن (۰/۱۵، ۰/۱ و ۰/۲۲) گرم بر ساعت در شرایط بهینه بررسی شد. نمودار شماره ۸ نشان می دهد تجزیه آنتی بیوتیک های سولفاستامید از ۵۴/۹ به ۸۰/۷ درصد برای سولفاستامید، از ۵۳/۴ به ۷۹/۸ درصد برای سولفاتیازول، از ۵۲/۷ به ۸۰/۹ درصد برای سولفاماتکسازول، از ۵۱/۸ به ۸۰/۱ درصد برای سولفادیازین با افزایش غلظت ازن در مدت زمان ۱۵ دقیقه افزایش یافت. بنابراین غلظت بهینه ازن ۰/۲۲ گرم بر ساعت در نظر گرفته شد.



نمودار شماره 8: اثر غلظت گاز ازن ورودی بر تجزیه آنتی بیوتیک های سولفانامید

نرخ واکنش فتوولیزازناسیون ۲/۵ برابر برای سولفاستامید، ۲/۴۹ برابر برای سولفاتیازول، ۲/۶۸ برابر برای سولفاماتکسازول و ۲/۸ برابر برای سولفادیازین بیشتر از نرخ واکنش فرایند فتوکاتالیستی در شرایط بهینه است.

مقایسه سرعت واکنش حلقه سولفانامیدها در فرایندهای فتوکاتالیستی و فتوولیزازناسیون
مقادیر نرخ واکنش معادله سینتیک درجه اول تحت شرایط بهینه در نمودار شماره ۱۰ نشان داده شده است.



نمودار شماره ۹: اثر غلظت اولیه آنتی بیوتیک بر تجزیه آنتی بیوتیک های سولفانامید

جدول شماره ۲: مدل ها، پارامترها ، معادلات سینتیک و مصرف انرژی

مدل های کیمیک	میزان انرژی مصرفی	پارامترها
Zero-order	$C_0 - C_t = k_{\text{obs}} t$	$\frac{k_{\text{obs}}}{V \times E_{\text{Eo}}} = \frac{38.4 \times P}{L \times k_{\text{obs}}}$ $C_0 (\text{mg/L}), C_t (\text{mg/L}), k_{\text{obs}} (\text{mol L}^{-1} \text{min}^{-1}), k_{\text{obs}} (\text{1/min}), k_{\text{Eo}} (\text{L mol}^{-1} \text{min}^{-1}), (C_0)_0 (\text{mg/L}), k_{\text{Eo}} (\text{mg L}^{-1} \text{min}^{-1}), K_C (\text{L mg}^{-1}), P (\text{KW}), V (\text{L}), E_{\text{Eo}} (\text{kWh/m}^3)$
First-order	$\ln \frac{C_0}{C_t} = k_{\text{obs}} t$	
Second-order	$\frac{1}{C_t} - \frac{1}{C_0} = k_{\text{obs}} t$	$\frac{k_{\text{obs}}}{V \times E_{\text{Eo}}} = \frac{P \times 1000}{V \times k_{\text{obs}} \times \log \left(\frac{C_0}{C_t} \right)}$
Langmuir-Hinshelwood	$\frac{1}{k_{\text{obs}}} = \frac{1}{k_{\text{Eo}} K_C} + \frac{[C]_0}{k_{\text{Eo}} K_C} - \frac{d[C]}{dt} = \frac{k_{\text{Eo}} K_C [C]}{1 + K_C [C]_0} - k_{\text{obs}} [C]$	

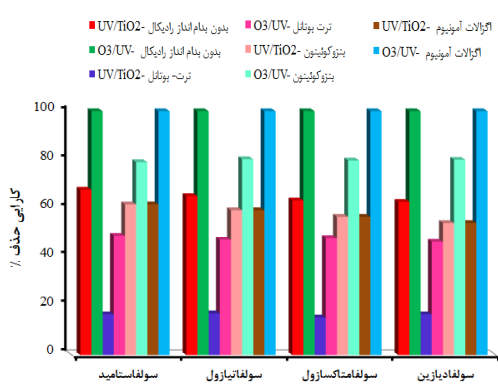
جدول شماره ۳: پارامترهای سینتیکی در تجزیه فتوکاتالیستی آنتی بیوتیک ها

سولفاستامید							
درجه دوم	k ₂ (L mol ⁻¹ min ⁻¹)	E _{Ed} (kWh/ m ³)	R ²	1/k _{obs} (min)	k _{obs} (1/min)	R ²	(C) ₀ (mg L ⁻¹)
0/8681	0/0180	115/6	0/988	24	0/0415	0/2372	0/0741
0/8868	0/0043	163/2	0/6995	34	0/0294	0/149	20
0/8294	0/0008	313/7	0/9262	65/3	0/0153	0/0185	40
سولفاتیازول							
درجه دوم	k ₂ (L mol ⁻¹ min ⁻¹)	E _{Ed} (kWh/ m ³)	R ²	1/k _{obs} (min)	k _{obs} (1/min)	R ²	(C) ₀ (mg L ⁻¹)
0/9142	0/014	125	0/9927	26	0/0384	0/2227	0/0711
0/9154	0/004	166/6	0/9646	34/7	0/028	0/1464	0/1222
0/8253	0/0008	320	0/9306	66/6	0/015	0/0165	0/0795
سولفاماتکسازول							
درجه دوم	k ₂ (L mol ⁻¹ min ⁻¹)	E _{Ed} (kWh/ m ³)	R ²	1/k _{obs} (min)	k _{obs} (1/min)	R ²	(C) ₀ (mg L ⁻¹)
0/863	0/0161	121/8	0/9854	25/3	0/0394	0/2255	0/0722
0/9244	0/0038	171/4	0/972	35/7	0/02	0/1414	0/1192
0/8159	0/0008	328/7	0/9262	68/4	0/0146	0/0137	40
سولفادیازین							
درجه دوم	k ₂ (L mol ⁻¹ min ⁻¹)	E _{Ed} (kWh/ m ³)	R ²	1/k _{obs} (min)	k _{obs} (1/min)	R ²	(C) ₀ (mg L ⁻¹)
0/8046	0/017	118/8	0/9698	24/7	0/0404	0/2252	0/072
0/9248	0/0037	173/9	0/9719	36/2	0/027	0/387	20
0/8104	0/0008	324/3	0/9108	67/5	0/0148	0/0138	40

جدول شماره ۴: پارامترهای سیستیکی در تجزیه فتوولیز ازناسیون آنتی بیوتیک ها

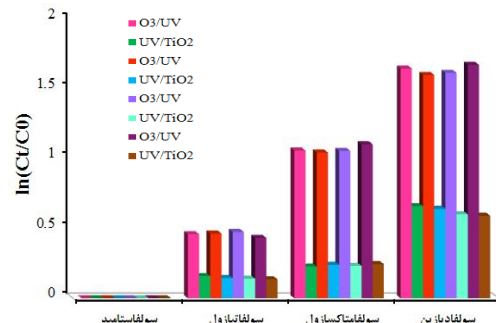
سولفامات‌آمید								$(C)_0$ (mg L ⁻¹)
درجه دوم	k ₂ (L mol ⁻¹ min ⁻¹)	E _{ED} (kWh/m ³)	R ²	1/k _{obs} (min)	k _{obs} (1/min)	R ²	drجه صفر	
0/9854	0/0337	43/3	0/9966	9/03	0/1107	0/0202	0/058	10
0/9724	0/0037	63/9	0/9715	13/3	0/075	0/088	0/299	20
0/9459	0/0037	86/1	0/9662	17/9	0/055	0/1711	0/896	40
سولفامات‌آزوں								
درجه دوم	k ₂ (L mol ⁻¹ min ⁻¹)	E _{ED} (kWh/m ³)	R ²	1/k _{obs} (min)	k _{obs} (1/min)	R ²	drجه صفر	$(C)_0$ (mg L ⁻¹)
0/9894	0/0322	44/6	0/9979	9/29	0/107	0/0257	0/0568	10
0/9463	0/0081	172/9	0/9861	15/1	0/065	0/171	0/378	20
0/9464	0/0036	87/2	0/9601	18/1	0/05	0/1694	0/906	40
سولفامات‌کازازوں								
درجه دوم	k ₂ (L mol ⁻¹ min ⁻¹)	E _{ED} (kWh/m ³)	R ²	1/k _{obs} (min)	k _{obs} (1/min)	R ²	drجه صفر	$(C)_0$ (mg L ⁻¹)
0/9889	0/032	44/2	0/9982	9/21	0/108	0/0253	0/064	10
0/9553	0/009	70	0/9884	14/5	0/06	0/1523	0/35	20
0/9433	0/003	58/8	0/9466	17/8	0/05	0/1669	0/89	40
سولفادیازین								
درجه دوم	k ₂ (L mol ⁻¹ min ⁻¹)	E _{ED} (kWh/m ³)	R ²	1/k _{obs} (min)	k _{obs} (1/min)	R ²	drجه صفر	$(C)_0$ (mg L ⁻¹)
0/9878	0/03	42/2	0/3699	8/7	0/11	0/0135	0/04	10
0/9574	0/009	70/7	0/9859	14/7	0/06	0/1513	0/36	20
0/9379	0/03	79/9	0/9579	18/3	0/05	0/1821	0/922	40

نتایج نشان می‌دهد رادیکال هیدروکسیل گونه واکنش پذیر اصلی در هر دو فرایند است.



نمودار شماره 11: اثر بدام اندازه‌های رادیکال مختلف بر تجزیه آنتی بیوتیک سولفانامید

تعیین محصولات واسطه تولیدی حاصل از تجزیه آنتی بیوتیک‌های سولفانامید و میزان معنی‌سازی در این مطالعه محصولات واسطه تولیدی از تجزیه آنتی بیوتیک‌های سولفانامید توسط فرایندهای فتوکاتالیستی و فتوولیز ازناسیون توسط GC-MS تحت

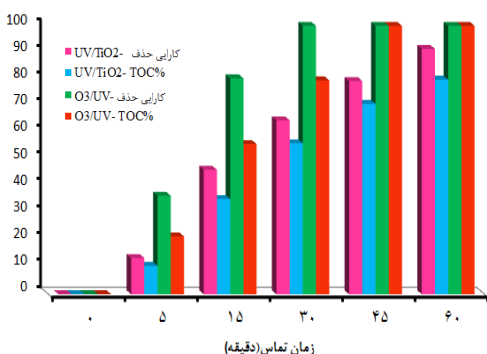


نمودار شماره 10: مقایسه سرعت واکنش تجزیه آنتی بیوتیک سولفانامید

مکانیسم فرایندهای فتوولیز ازناسیون و فتوکاتالیستی با اثر بدام انداز رادیکال

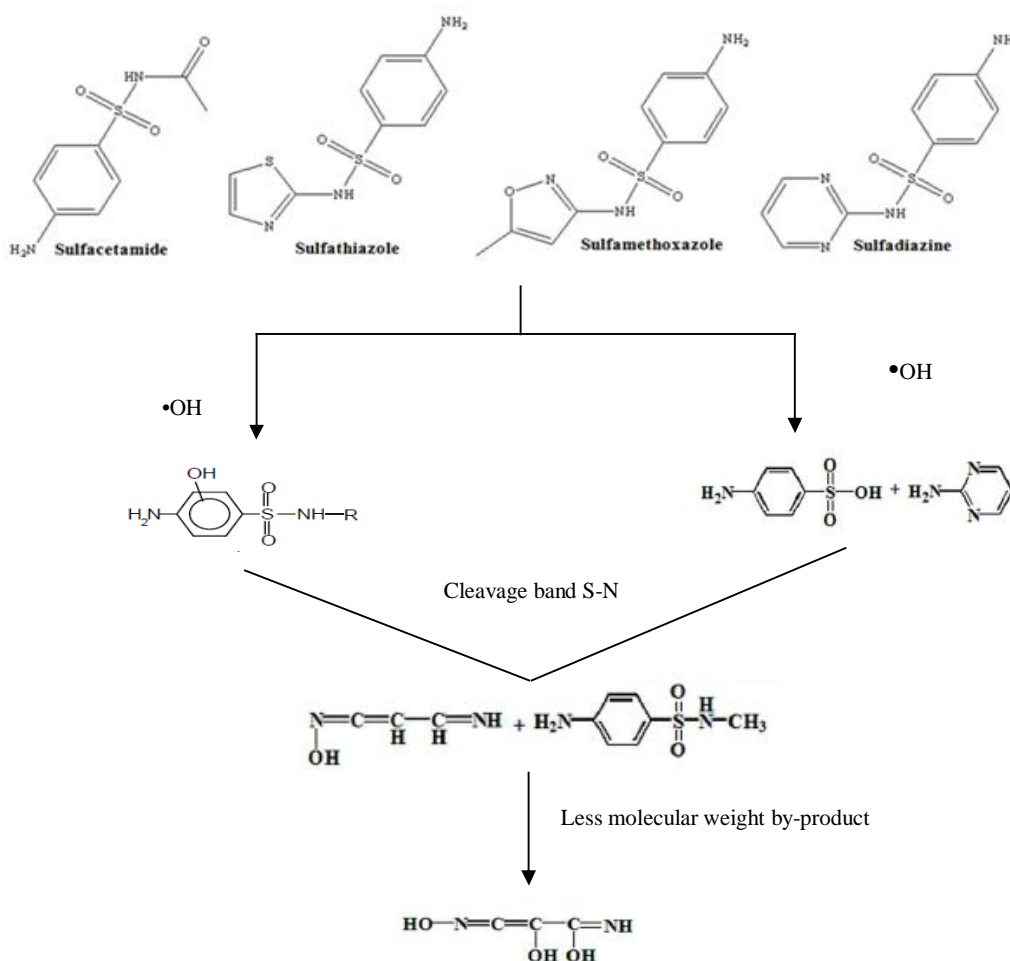
برای تعیین نمودن کارایی گونه‌های واکنش پذیر در تجزیه آنتی بیوتیک‌های سولفانامید، آزمایش اسکونجرهای مختلف مانند اگزالت آمونیوم، بنزوکوئینون و ترت-بوتانول تحت شرایط بهینه انجام شد. نمودار شماره 11 نشان می‌دهد زمانی که اسکونجرها برای بدام انداختن گونه‌های واکنش پذیر مورد استفاده قرار نگرفته است کارایی حذف حداقل بوده است. با اضافه نمودن اسکونجرها میزان حذف آنتی بیوتیک‌ها کاهش یافت.

شماره ۳ نشان داد کارایی معدنی سازی آنتی بیوتیک های سولفانامید برابر با ۸۰ و ۷۹/۶۸ درصد است.



نمودار شماره ۱۲: میزان معدنی سازی آنتی بیوتیک های سولفانامید

شرایط بهینه بررسی شد. مسیر تجزیه احتمالی آنتی بیوتیک ها در طی فرایندهای مذکور در نمودار شماره ۱۲ به صورت زیر است: تغییر شکل سولفانامیدها با حمله رادیکال هیدروکسیل به حلقة آروماتیک و تشکیل هیدروکسی سولفانامید در اثر هیدروکسیل اسیلانسیون حلقة آروماتیک سبب شکاف باند N-S می شود. باز شدن حلقة پیریمیدین در اثر فتولیزازناسیون سولفادیازین سبب تولید محصولات واسطه ای مانند ۴ آمینو-N- متیل بترزو سولفانامید و ۳ آمینو- پروپن اگزیم شد. در سولفاتیازول با حمله رادیکال هیدروکسیل به حلقة هتروواتم گروه متوكسی مولکول RNH₂ تخریب و تولید محصول واسطه با وزن مولکولی پایین تر می شود. نتایج آنالیز TOC در تصویر



تصویر شماره ۳: تعیین محصولات واسطه حاصل از تجزیه آنتی بیوتیک های سولفانامید

بحث

pH

اثر غلظت آنتی بیوتیک های سولفانامید با افزایش غلظت آنتی بیوتیک ها طبق قانون بیر لامبرت جذب نور UV در مسیر کوتاهتری انجام می شود و میزان دسترسی آلانیندهها به گونه های اکسیداتیو تولیدی کمتر و تجزیه آلانیند کاهش می یابد(25). نتایج این مطالعه با نتایج Dantas و همکارانش مطابقت دارد(26).

سرعت واکنش فرایندهای فتوکاتالیستی و فتوولیز از ناسیون در حذف سولفانامیدها سرعت واکنش فتوولیز از ناسیون نسبت به فرایند فتوکاتالیستی $2/6$ برابر بالاتر است. تشکیل پراکسیدهیدروژن در طی فرآیند فتوولیز از ناسیون و تجزیه آن توسط نور UV سبب افزایش بالاتر اکسیداسیون در فتوولیز از ناسیون نسبت به فرایند فتوکاتالیستی می شود(27). کارایی حذف آنتی بیوتیک های سولفانامید در زمان تعادل 30 دقیقه توسط فرایند فتوکاتالیستی و فتوولیز از ناسیون به ترتیب برابر $67/8$, $65/4$, $63/4$ و $62/8$ درصد بوده است. بنابراین بالاترین راندمان حذف مربوط به فرایند فتوولیز از ناسیون است(28). نتایج این تحقیق با نتایج Benotti و همکارانش در حذف ترکیبات دارویی مطابقت دارد(29).

اثر بدام انداز رادیکال کارایی حذف آنتی بیوتیک های سولفانامید در حضور رادیکال خوارها نسبت به عدم حضور رادیکال خوارها کاهش می یابد. رادیکال هیدروکسیل با داشتن پتانسیل اکسیداسیون و احیاء $2/8$ ولت دارای قدرت اکسیداسیون بالاتری نسبت به رادیکال سوپراکساید و حفره می باشد(30).

تعیین محصولات جانبی و حذف TOC در شرایط بهینه با تولید گونه های اکسیداتیو، آنتی بیوتیک های سولفانامید به محصولات واسطه ای با وزن مولی پایین تر مانند اسید سولفانیلیک، اسید بوتیریک، اسید استیک و اسید والریک تجزیه شدن. همچنین راندمان حذف آنتی بیوتیک ها در شرایط بهینه برابر با $42/91$ و 100 درصد بوده است. در صورتی که میزان کارایی

بالاترین میزان حذف آنتی بیوتیک های سولفانامید بواسطه فرآیندهای فتوکاتالیستی و فتوولیز از ناسیون در pH=5 است. با توجه به این که نقطه زتا پتانسیل کاتالیست دی اکسید تیتانیوم برابر با 4 به دست آمد. بنابراین زمانی که pH محلول بیش تر از نقطه زتا پتانسیل کاتالیست باشد سطح TiO_2 دارای بار منفی و قادر به جذب آلانیند با بار مثبت است(16).

در این مطالعه pH محلول بیش تر از pka_1 (گروه آمین) است در نتیجه گروه آمین پروتون خود را از دست داده به شکل غیر پروتونه و بار منفی می گیرد و میزان جذب سولفانامیدها بر روی کاتالیست کاهش می یابد(17). نتایج مطالعه با نتایج Beltran و همکارانش در سال 2009 مطابقت دارد(18).

اثر دوزاژ کاتالیست TiO_2

بالاترین راندمان فتوکاتالیستی آنتی بیوتیک های سولفانامید در دوزاژ 1 گرم بر لیتر بوده است. بالا بودن غلظت نانو کاتالیست دی اکسید تیتانیوم بیش از حد بهینه باعث اثر سایه گذاری و مانع جذب نور UV و انتشار آن به درون محلول می شود(19). همچنین در غلظت بالای نانو کاتالیست اشباع شدن لایه های داخلی TiO_2 از آلانیند و بازترکیبی جفت الکترون hole افزایش پیدا می کند و کاهش کارایی کواتوم سازی نور می شود(20). نتایج مطالعه با نتایج Behera و همکارانش مطابقت دارد(21).

اثر غلظت گاز ازن

با افزایش غلظت گاز ازن ورودی، غلظت ازن محلول در آب و کارایی حذف فتوولیز از ناسیون آنتی بیوتیک های سولفانامید افزایش می یابد(22). بنابراین فتوولیز ازن در آب باعث تولید H_2O_2 به عنوان محصول واسطه تولیدی از انجام واکنش و سبب افزایش تشکیل گونه های واکنش پذیرتر مانند OH^- خواهد شد(23). نتایج این مطالعه با نتایج Muller و همکارانش مطابقت دارد(24).

سپاسگزاری

این پژوهش در قالب طرح تحقیقاتی مصوب دانشگاه علوم پزشکی ایران با کد اخلاقی IR.IUMS.REC 1395.9221150201 مالی معاونت تحقیقات و فناوری آن دانشگاه به انجام رسیده است.

معدنی سازی آنتی بیوتیک ها برابر با ۸۰ و ۷۹/۶۸ درصد حاصل شد. میزان TOC نشان می دهد هنوز این محصولات واسطه نیاز به تجزیه بیشتری دارند. در پایان می توان نتیجه گرفت فرایندهای فتوکاتالیستی و فتولیزازناسیون می توانند روش مناسبی جهت حذف آنتی بیوتیک های سولفانامید از محیط آبی باشد.

References

1. Rivera-Utrilla J, Polo MS, Ferro-Garcia MA, Joya GP, Perez RO. Pharmaceuticals as emerging contaminants and their removal from water. A review. Chemosphere 2013; 93(7): 1268-1287.
2. Gomes J, Costa R, Quinta-Ferreira RM, Martins RC. Application of ozonation for pharmaceuticals and personal care products removal from water. Sci Total Environ 2017; 586: 265-283.
3. Rey A, Carbajo J, AdánC, Faraldo M, Bahamond A, Casas JA, et al. Improved mineralization by combined advanced oxidation processes. Chem Eng J 2011; 174(1): 134-142.
4. Serpone N, Artemev YM, Ryabchuk VK, Emeline AV, Horikoshid S. Light-driven advanced oxidation processes in the disposal of emerging pharmaceutical contaminants in aqueous media: A brief review. Curr Opin Green Sustain Chem 2017; 6: 18-33.
5. Ternes TA, Stüber J, Herrmann N, McDowell D, Ried A, Kampmann M, et al. Ozonation: a tool for removal of pharmaceuticals, contrast media and musk fragrances from wastewater? Water Research 2003; 37(8): 1976-1982.
6. Asadi Z, Ahmadi S, Investigation of the Efficiency of Coagulation Process for Ciprofloxacin Antibiotic Removal from Aqueous Solution. J Health Res Commun 2019; 5(1): 38-48.
7. Kalhor EM, Al-Musawit T, Ghahraman E, Kazemian H, Zarrabi M. Enhancement of the adsorption capacity of the light-weight expanded clay aggregate surface for the metronidazole antibiotic by coating with MgO nanoparticles: Studies on the kinetic, isotherm, and effects of environmental parameters. Chemosphere 2017; 175: 8-20.
8. Javan F, Zazouli MA, Babanezhad E, Gholami-Borujeni F. Removal efficiency of Enzyme Horseradish Peroxidase in Removal of Tetracycline and Ciprofloxacin from Synthetic Wastewater. J Mazandaran Univ Med Sci 2020; 30(189): 95-106 (Persian).
9. Esrafili A, Khosravi S, Gholami M, Farzadkia M, Abdorahimi G. Photocatalytic Removal of Metronidazole Using Magnetic TiO₂ Nanocatalyst(Fe3O4@SiO₂@TiO₂): Synthesis, Characterization, and Operational Parameters. J Mazandaran Univ Med Sci 2018; 28(159): 97-115 (Persian).
10. Azadbakht F, Esrafili A, Yeganeh Badi M, Sajedifar J, Amiri M, Gholami M. Efficiency of Persulfate-based Advanced Oxidation Process (UV/Na₂S₂O₈) in Removal of Metronidazole from Aqueous Solutions. J Mazandaran Univ Med Sci 2017; 27(154): 119-129 (Persian).

11. Abellán MN, Gebhardt W, Schröder HF. Detection and identification of degradation products of sulfamethoxazole by means of LC/MS and -MSn after ozone treatment. *Water Sci Technol* 2008; 58(9): 1803-1812.
12. Lucas MS, Tavares PB, Peres JA, Faria LJ, Rocha M, Pereira C, et al. Photocatalytic degradation of Reactive Black 5 with TiO₂-coated magnetic nanoparticles. *Catal Today* 2013; 209: 116-121.
13. Ismail L, Rifai A, Ferronato C, Fine L, Jaber F, Chovelona JM. Towards a better understanding of the reactive species involved in the photocatalytic degradation of sulfaclozine. *Appl Catal B* 2016; 185: 88-99.
14. Godini K, Tahergorabi M, Naimi-Joubani M, Shirzad-Siboni M, Yang JK. Application of ZnO nanorods doped with Cu for enhanced sonocatalytic removal of Cr (VI) from aqueous solutions. *Environ Sci Pollut Res Int* 2020; 27(3): 2691-2706.
15. Challis JK, Carlson JC, Friesen KJ, Hanson ML, Wong CS. Aquatic photochemistry of the sulfonamide antibiotic sulfapyridine. *J Photochem Photobiol A* 2013; 262: 14-21.
16. Dehghan S, Tahergorabi M, Norzaee S, Boorboor Azimi E, Hasham Firooz M, Dadban Shahamat Y. Preparation and photocatalytic performance of reduced graphene oxide/ZnO nanocatalyst for degradation of metalaxyl from aqueous solution: effect of operational parameters, mineralisation and toxicity bioassay. *Int J Environ An Ch* 2020: 1-23.
17. Remko M. Molecular structure, pKa, lipophilicity, solubility and absorption of biologically active aromatic and heterocyclic sulfonamides. *J Mol Struc* 2010; 944(1-3): 34-42.
18. Beltrán FJ, Aguinaco A, García-Araya JF. Mechanism and kinetics of sulfamethoxazole photocatalytic ozonation in water. *Water Res* 2009; 43(5): 1359-1369.
19. Wang F, Chen P, Feng Y, Xie Z, Liu Y, Su Y, et al. Facile synthesis of N-doped carbon dots/g-C₃N₄ photocatalyst with enhanced visible-light photocatalytic activity for the degradation of indomethacin. *Appl Catal B* 2017; 207: 103-113.
20. Liu W, Li Y, Liu F, Jiang W, Zhang D, Liang J. Visible-light-driven photocatalytic degradation of diclofenac by carbon quantum dots modified porous g-C₃N₄: Mechanisms, degradation pathway and DFT calculation. *Water Res* 2019; 150: 431-441.
21. Behera SK, Kim HW, Oh JE, Park HS. Occurrence and removal of antibiotics, hormones and several other pharmaceuticals in wastewater treatment plants of the largest industrial city of Korea. *Sci Total Environ* 2011; 409(20): 4351-4360.
22. Wang F, Wang Y, Feng Y, Zeng Y, Xie Z, Su Y, et al. Novel ternary photocatalyst of single atom-dispersed silver and carbon quantum dots co-loaded with ultrathin g-C₃N₄ for broad spectrum photocatalytic degradation of naproxen. *Appl Catal B* 2018; 221: 510-520.
23. Amraei B, Rezaei Kalantary R, Jonidi Jafari A, Gholami M. Efficiency of CuFe₂O₄ Bimetallic in Removing Amoxicillin from Aqueous Solutions. *J Mazandaran Univ Med Sci* 2017; 27(147): 259-275.
24. Balmer ME, Buser HR, Müller MD, Poiger Th. Occurrence of Some Organic UV Filters in Wastewater, in Surface Waters, and in Fish from Swiss Lakes. *Environ Sci Technol* 2005; 39(4): 953-962.
25. Zhu Z, Fan W, Liu Z, Dog H, Huo P, Yan Y, et al. Fabrication of the metal-free biochar-based graphitic carbon nitride for improved

- 2-Mercaptobenzothiazole degradation activity. J Photoch Photobio A 2018; 358: 284-293.
26. De Luca A, Danats RF, Simoes ASM, Toscano IAS, Lofrano A. Atrazine Removal in Municipal Secondary Effluents by Fenton and Photo-Fenton Treatments. Chem Eng Technol 2013; 36(12): 2155-2162.
27. Katal R, Abadi Farahani MHD, Jiangyong H. Degradation of acetaminophen in a photocatalytic (batch and continuous system) and photoelectrocatalytic process by application of faceted-TiO₂. Sep Purif Technol 2020; 230: 115859.
28. Ling Y, Liao G, Xu P, Li L. Fast mineralization of acetaminophen by highly dispersed Ag-g-C₃N₄ hybrid assisted photocatalytic ozonation. Sep Purif Technol 2019; 216: 1-8.
29. Benotti MJ, Trenholm RA, Vanderford BJ, Holady JC, Stanford BD, Snyder SA. Pharmaceuticals and Endocrine Disrupting Compounds in U.S. Drinking Water. Environ Sci Technol 2009; 43(3): 597-603.
30. Sano T, Koike K, Hori T, Hirakawa T, Ohko K, Takeuchi K. Removal of methyl mercaptan with highly-mobile silver on graphitic carbon-nitride (g-C₃N₄) photocatalyst. Appl Catal B 2016; 198: 133-141.